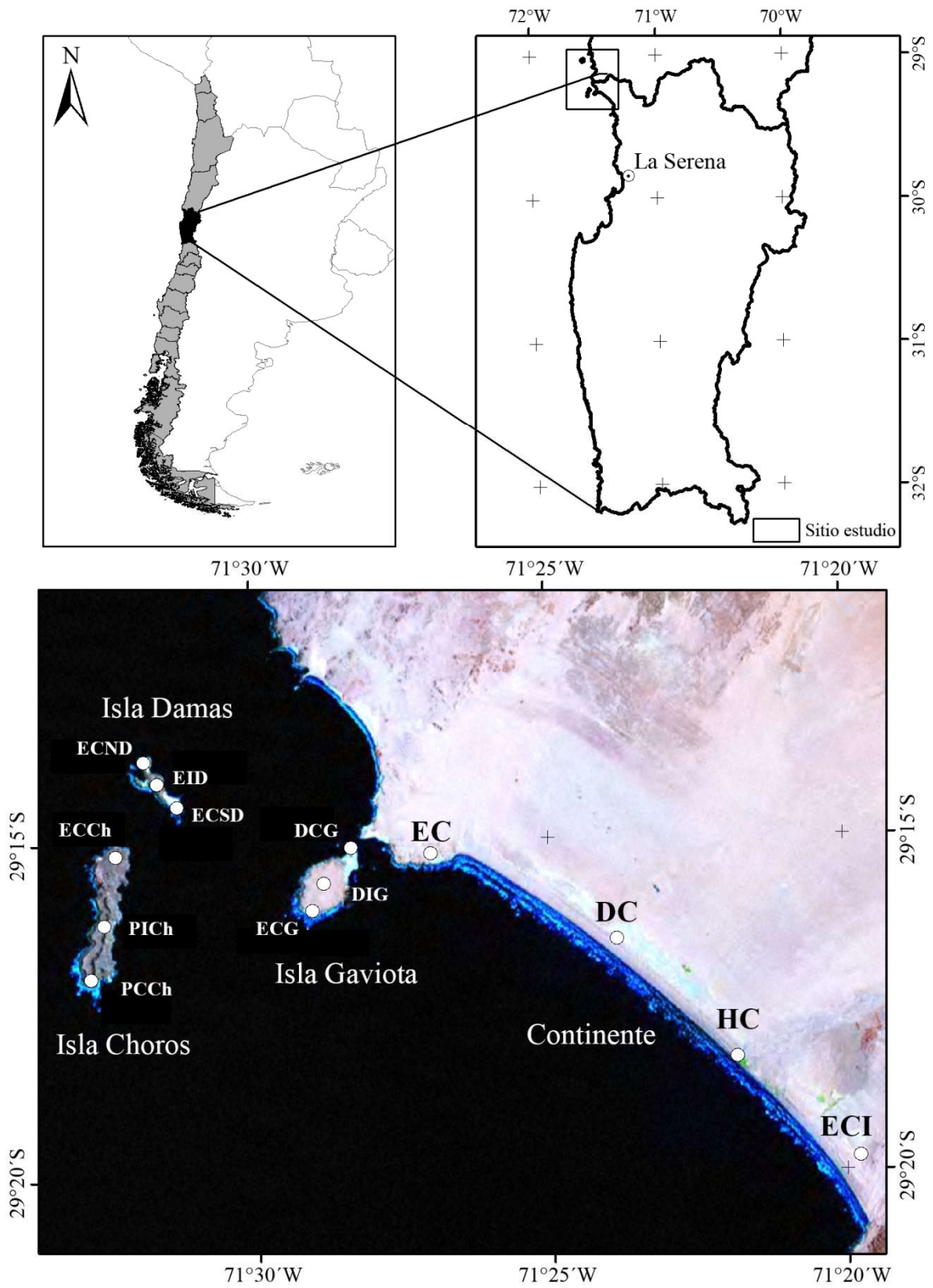
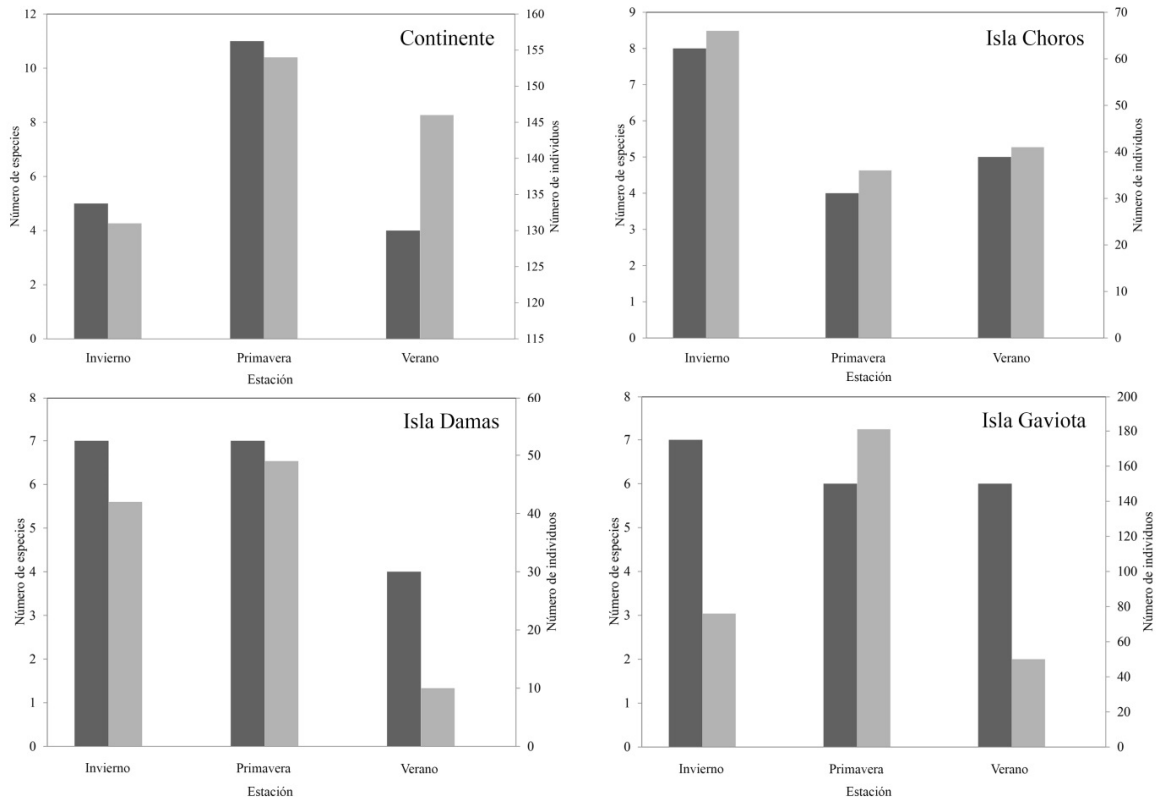


1 Figura 1

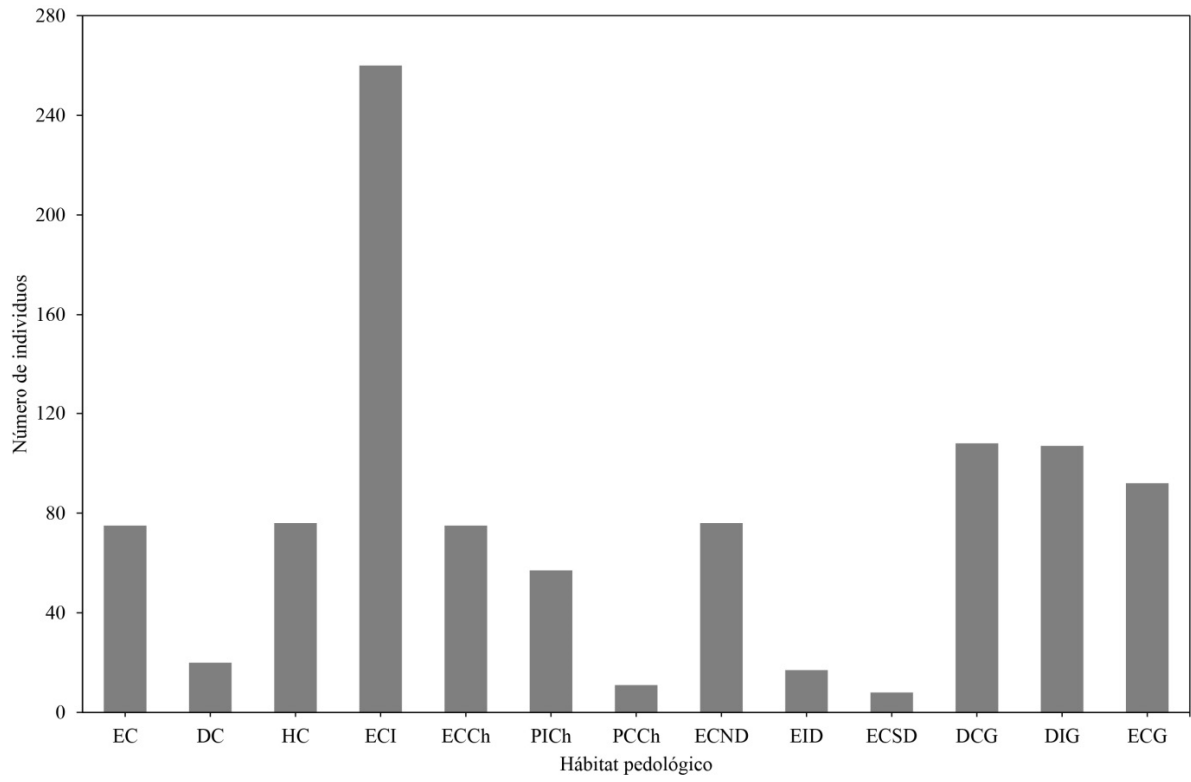




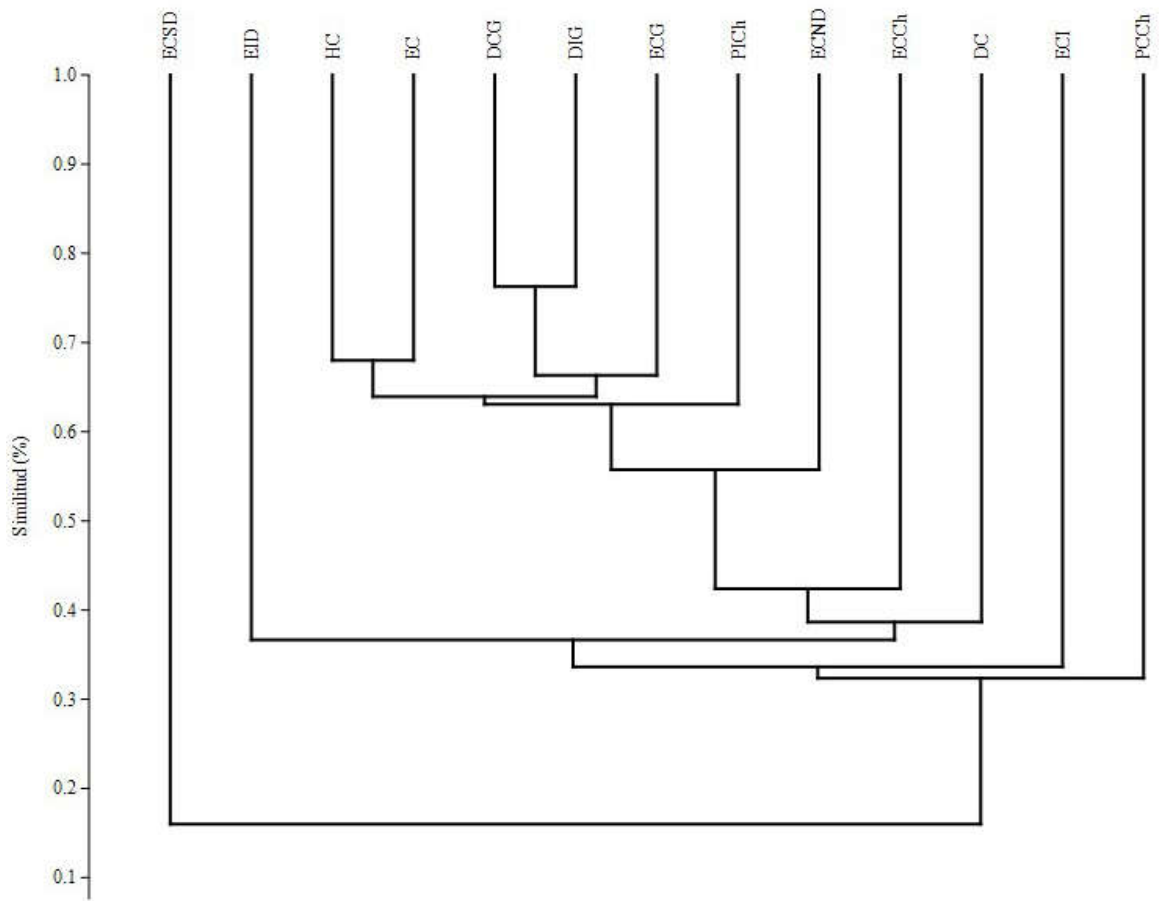
3 Figura 3



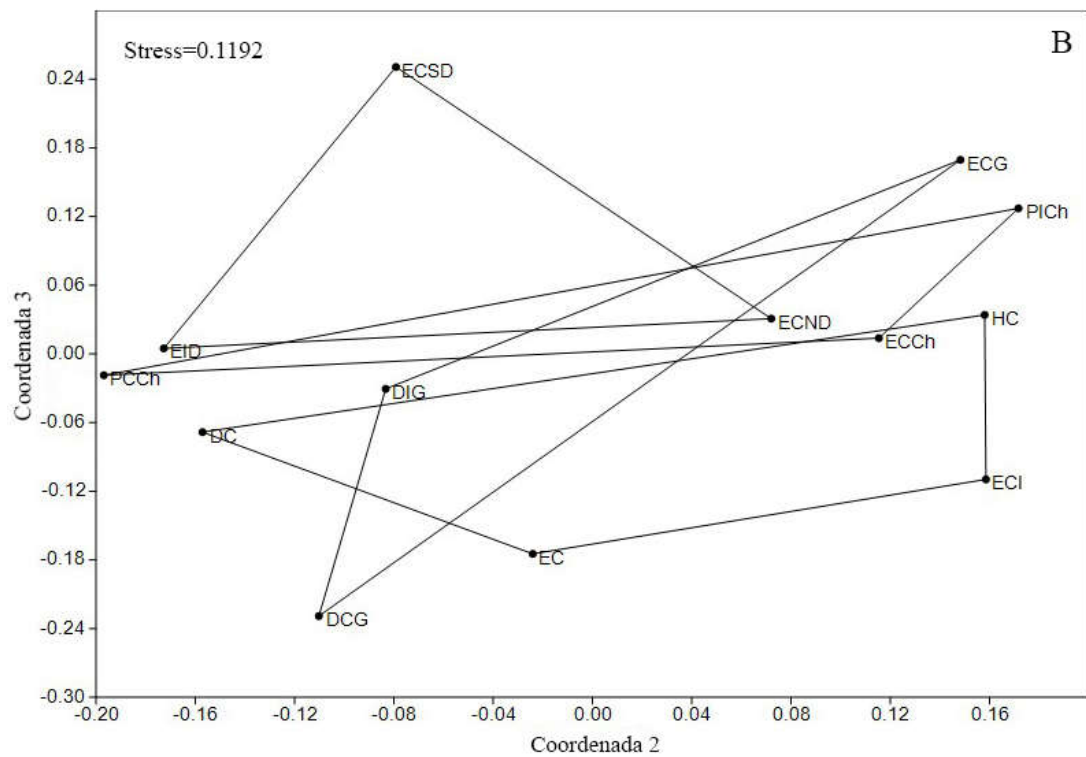
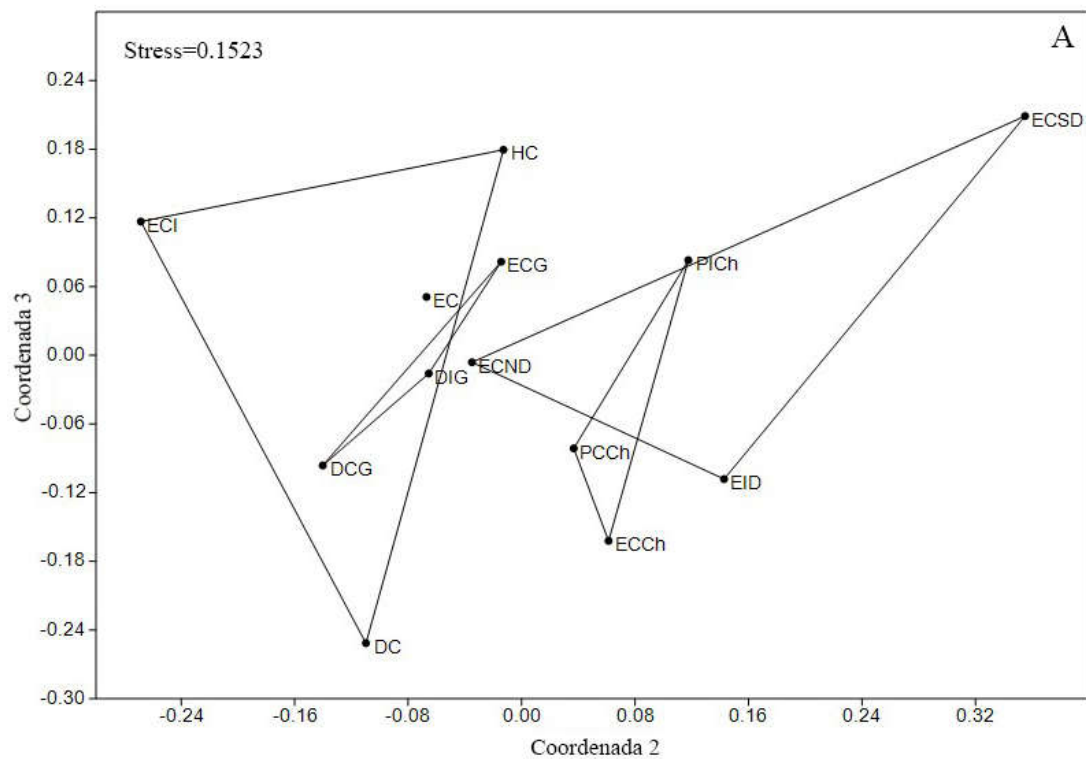
4 Figura 4



5 Figura 5



6 Figura 6



7 Leyenda de figuras

8

9 **Figura 1.** Localización geográfica del área de estudio. Continente: EC (estepa costera), DC  
10 (duna costera), HC (humedal costero), ECI (estepa costera interior); Isla Choros:  
11 ECCh (estepa costera Choros), PICH (pedregoso interior Choros), PCCh (pedregoso  
12 costero Choros); Isla Damas: ECND (estepa costera norte Damas), EID (estepa  
13 costera interior Damas), ECSD (estepa costera sur Damas); Isla Gaviota: DCG  
14 (duna costera Gaviota), DIG (duna interior Gaviota), ECG (estepa costera Gaviota).

15

16 **Figura 2.** Curva de acumulación de especies de tenebriónidos epigeos en diferentes hábitats  
17 pedológicos continentales e insulares del desierto costero transicional de Chile.

18

19 **Figura 3.** Riqueza (número de especies) y abundancia relativa (número de individuos) del  
20 ensamble de tenebriónidos epigeos durante tres estaciones de muestreo en hábitats  
21 pedológicos continentales e insulares del desierto costero transicional de Chile.

22

23 **Figura 4.** Abundancia relativa (número de individuos) del ensamble de tenebriónidos epigeos  
24 presentes en hábitats pedológicos continentales e insulares del desierto costero  
25 transicional de Chile.

26

27 **Figura 5.** Cluster de similitud basado en el índice de Bray-Curtis para los hábitats  
28 pedológicos estudiados.

29

30 **Figura 6.** Análisis de escalamiento multidimensional no-métrico (nMDS) y valor de Stress de  
31 Kruskal: A. Basado sobre el índice de similitud de Bray-Curtis, B. Basado sobre el  
32 índice de similitud de Jaccard.